

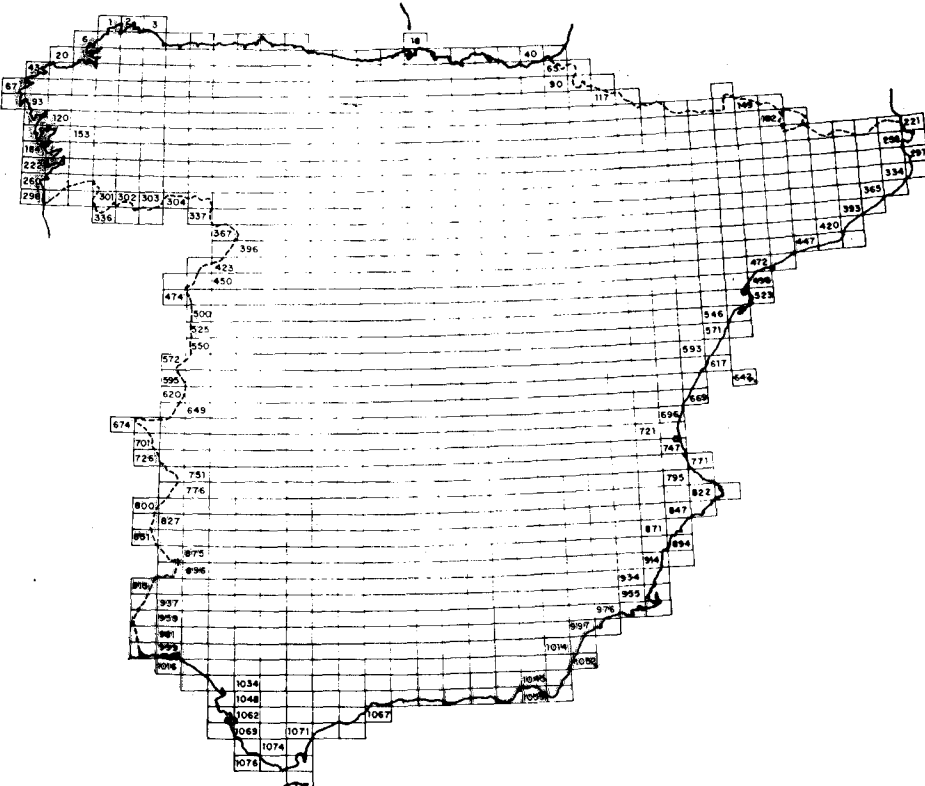
INI

empresa nacional adaro
de investigaciones mineras, s. a.

MAPA GEOLOGICO DE ESPAÑA

Escala 1:50.000

PROYECTO MAGNA



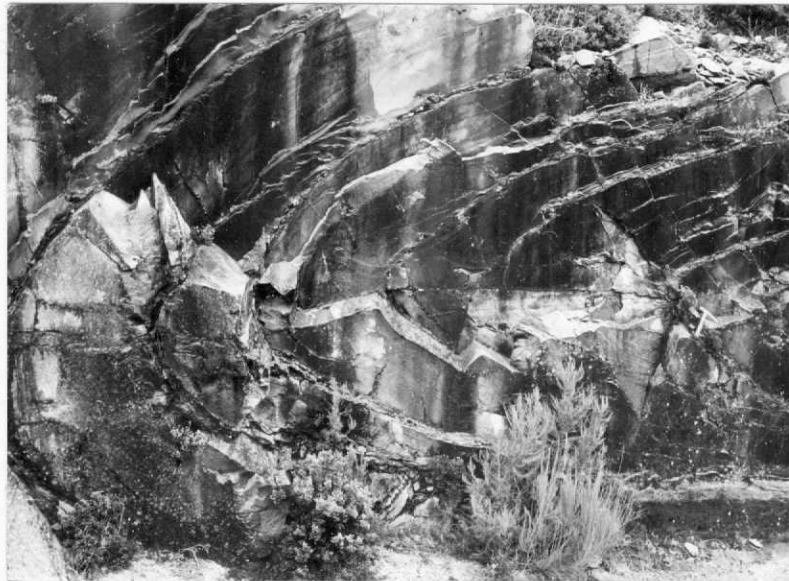
VIANA DEL BOLLO

220
9-11

DOCUMENTACION COMPLEMENTARIA

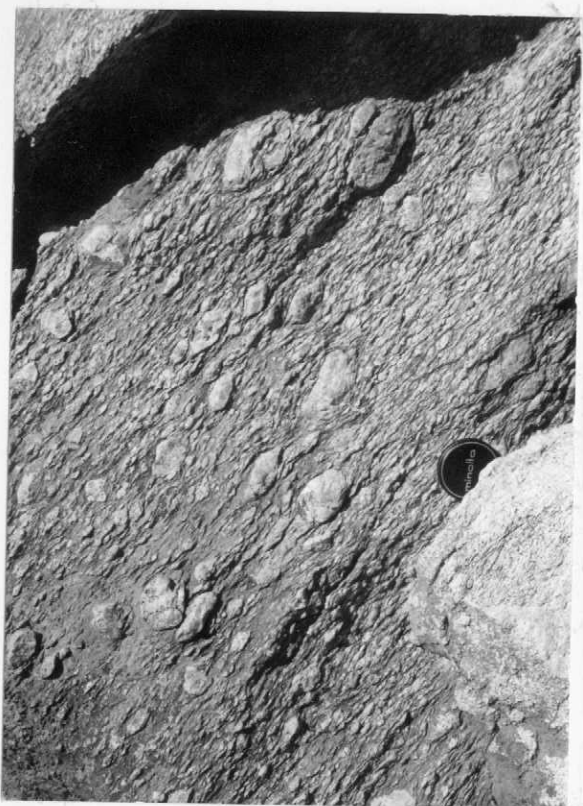
Año 1977

FOTOGRAFIAS CORRESPONDIENTES A LA HOJA DE
VIANA DEL BOLLO (09-11)



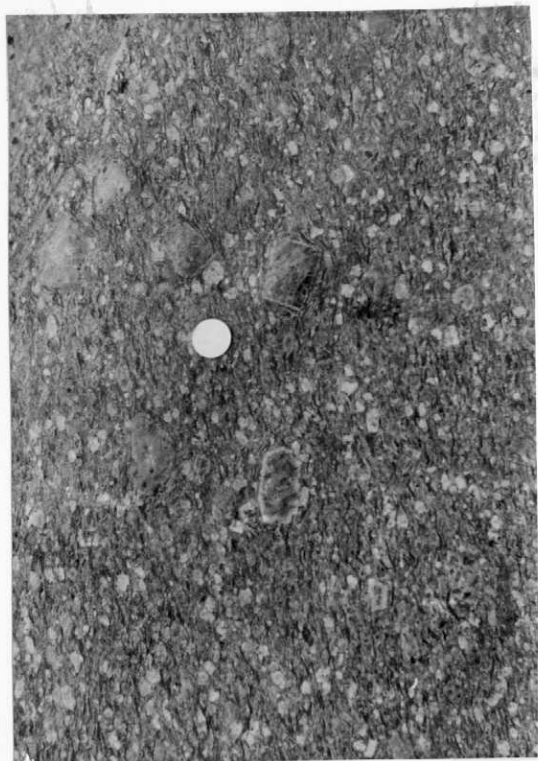
09-11-AD-IP-1252.- Mismas capas que la foto anterior en un pliegue de fase 1 (σ_{11-12}^{mcg}).

09-11-AD-IP-1237.- Formación "ollo de sapo" grano grueso (PC%).

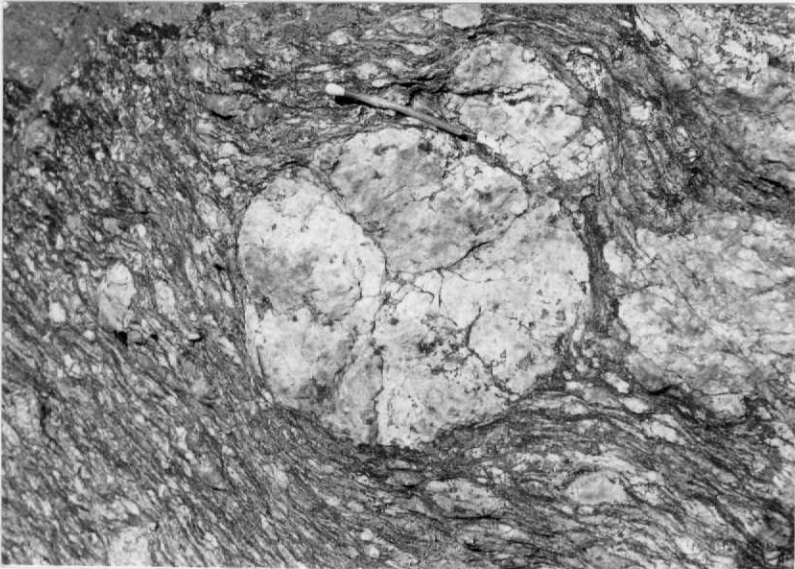


09-11-AD-IP-1238..- Intercalación pelítica en la formación "Olio
de sapo" de grano grueso (PC%).





09-11-AD-IP-1239.- Formación "Ollón de sapo" de grano grueso
(PC §). Feldespatos potásicos con borde de plagioclasa.



09-11-AD-IP-1240.- Formación "Ollón de sapo" de grano grueso (PC%). Sinneusis de cristales de feldespato potásico.



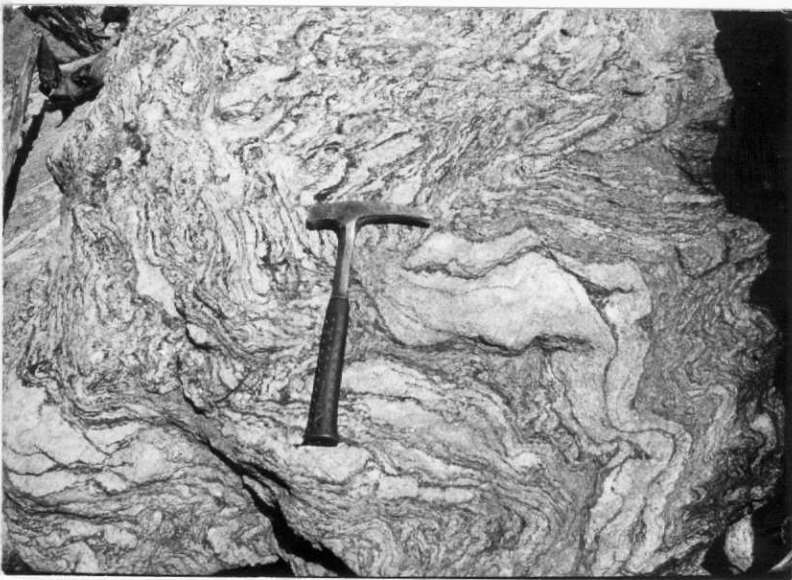
09-11-AD-IP-1241.- Formación "Ollo de sapo" de grano grueso (PC δ). Obsérvese la lineación de estiramiento L_{1e} groseramente expresada en el plano de esquistosidad S_1 por las sombras de presión en los feldespatos y reorientación de estos.



09-11-AD-IP-1242.- Formación "Ollo de sapo" de grano grueso (PC \ddagger). Lineación de estiramiento L_{1e} definida por la orientación de cristales de feldespato potásico y dispersión mecánica de estos.



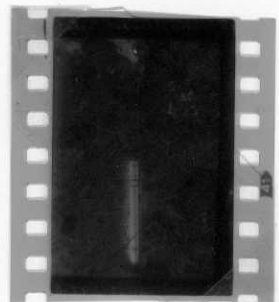
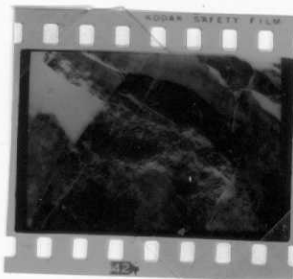
09-11-AD-IP-1243.- Detalle de la foto anterior. Obsérvense las grietas de dilatación térmica abiertas en el cristal de feldespato potásico.



09-11-AD-IP-1244.- Pliegues de fase 2 en "Ollo de sapo" (PC ζ) migmatizado. Los pliegues deforman las bandas de leucosoma.



09-11-AD-IP-1245. - Formación "Ollo de sapo" de grano fino (PC). La cerilla reposa sobre un plano de esquistosidad S_1 que está deformada por la fase 2. Obsérvense los planos discontinuos de la esquistosidad de crenulación S_2 .



09-11-AD-IP-1246. - Formación "Olla de sapo" de grano grueso (PC ζ). Bandas de milonitización posiblemente ligadas a fallas de desgarre tardihercínicos.



09-11-AD-IP-1247. - Kinks paralelos deformando la S_1 en el "Ollo de sapo" de grano grueso (PC ξ).



09-11-AD-IP-1248.- Kinks conjugados en el "Ollón de sapo" de grano grueso (PC ξ).



09-11-AD-IP-1249.- Formación "Viana del Bollo" (ξΥΥ). Niveles de paragneises en contacto con el "Ollo de sapo" (PC ξ).

09-11-AD-IP-1250. - Pliegue de segunda fase en la formación de
"Viana del Bollo" (¶YR). El Norte a la derecha.





09-11-AD-IP-1251.- Cuarcitas (O_{11-12}^{mog}) encima del "Ollón de sapo",
alternan con niveles más pelíticos y microconglomerados.



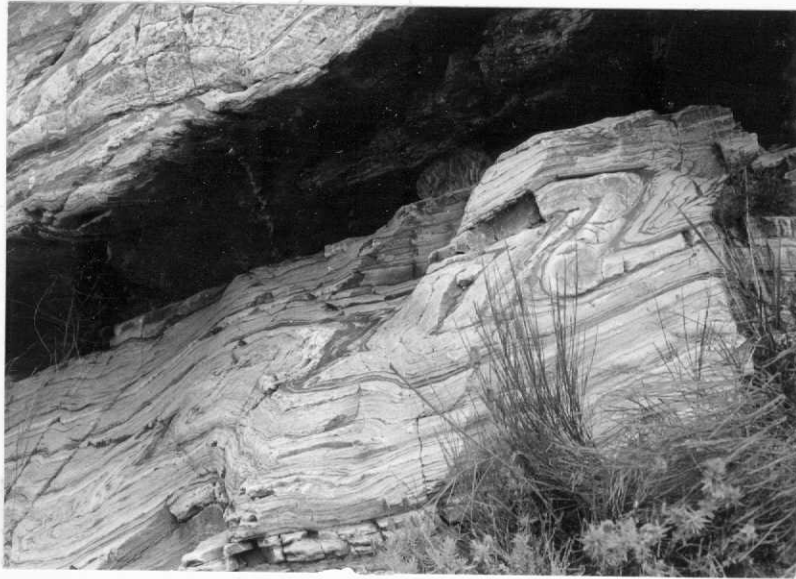
09-11-AD-IP-1253.- Esquistos (O_{11-12}^{ϵ}) por debajo de la cuarcita
armoricana (O_{12}) y encima de las cuarcitas inferiores (O_{11-12}^{mcg}) -
con cristales de andalucita posteriores a la 1^a fase de deformación
y anteriores a la crenulación de 2^a fase, que aquí buza al N.



09-11-AD-IP-1254. - Intercalación de cuarcitas en bancos de 0,5 a 1 m en la serie de esquistos (O_{11-12}^{ξ}) por debajo de la cuarcita armoricana (O_{12}) con pliegues de fase 1, no bien visibles en la foto.



09-11-AD-IP-1255.- Pliegue de fase 1 en alternancias de pizarras y cuarcitas (O_{11-12}^f) por debajo de la cuarcita armoricana (O_{12}). Obsérvese el embudo de esquistosidad alrededor de las charnelas en los niveles más pelíticos.



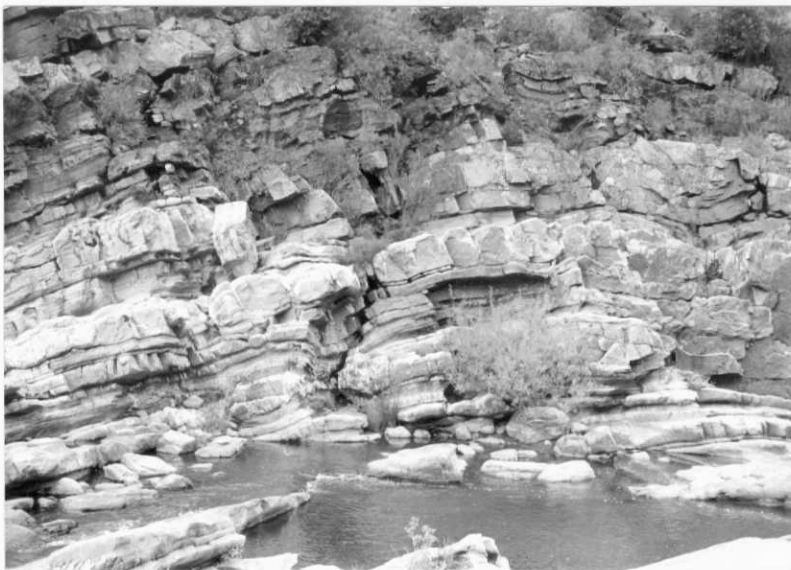
09-11-AD-IP-1256.- Micropliegues de flanco normal de fase 1 en intercalaciones de pizarras y cuarcitas (O_e) por debajo de la cuarcita armoricana (O_{12}). 11-12



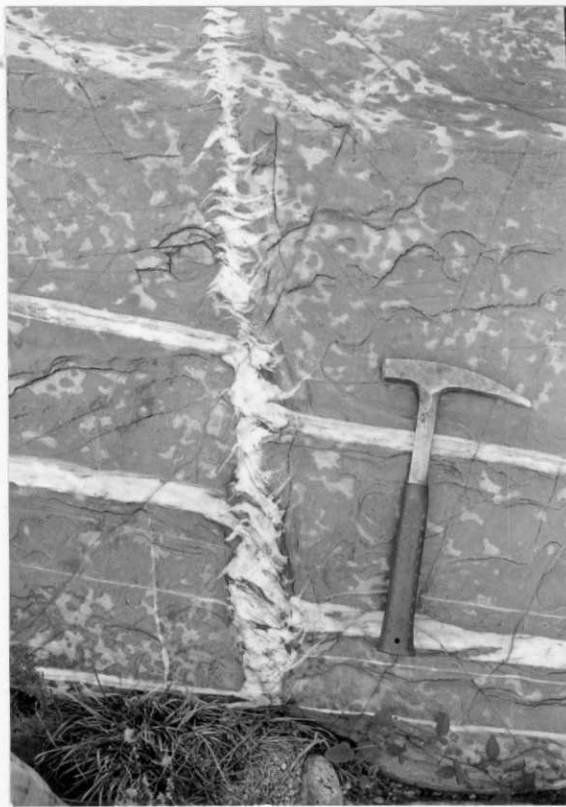
09-11-AD-IP-1257.- Micropliegues de fase 1 de flanco normal en la misma serie que los anteriores, plegados por pliegues de la 2^a fase. Las direcciones de los pliegues de ambas fases son ca si coincidentes.



09-11-AD-IP-1258.- Micropliegues de fase 2 en la misma serie de alternancias de cuarcitas y pizarras (O_{11-12}^{ε}) que los anteriores.



09-11-AD-IP-1259..- Boudines relacionados con la fase de deformación principal, con recristalizaciones de cuarzo en los nudos. La dirección de los ejes de los boudines coincide con la de los ejes de los pliegues de la misma fase, por lo que el estiramiento es perpendicular a los ejes de los pliegues. Cuarci ta armoricana (O_{12}).



09-11-AD-IP-1260.- Banda de grietas de tensión sigmoides en re
lacióñ con una falla de desgarre dextro que desplaza grietas -
de tensión planares. Cuarcita armoricana (O_{12}).



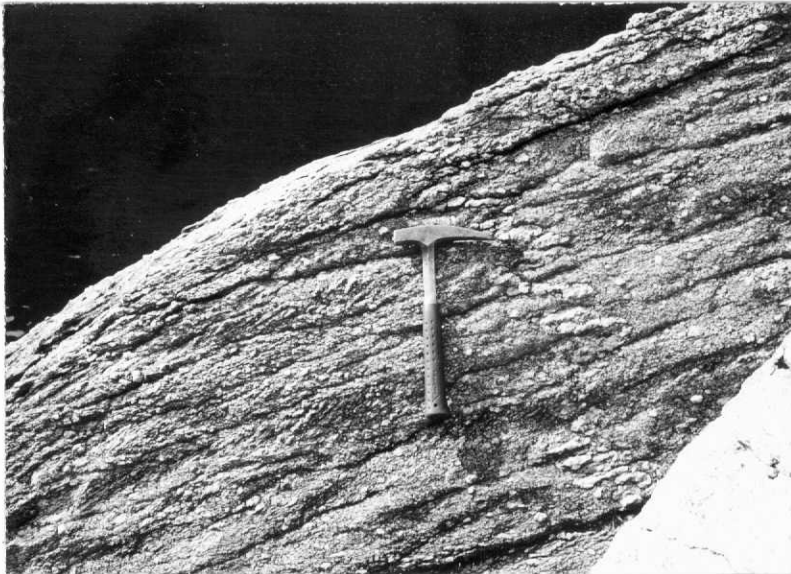
09-11-AD-IP-1261.- Pliegues de fase 1 subisoclinales en la cuarcita armoricana (O_{12}), plegados por la fase 2. El pliegue 2 lleva asociada una esquistosidad de crenulación de plano axial con una pendiente de 40° - 50° al NE.



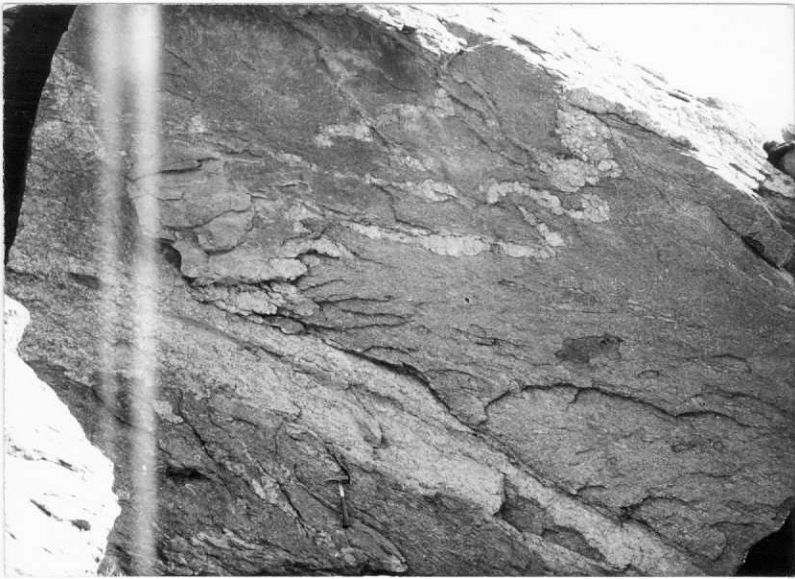
09-11-AD-IP-1262.- Detalle de la foto anterior.



09-11-AD-IP-1263.- Formación de Pizarras de Llandeilo (O_{2-3})
por encima de la cuarcita armoricana (O_{12}).



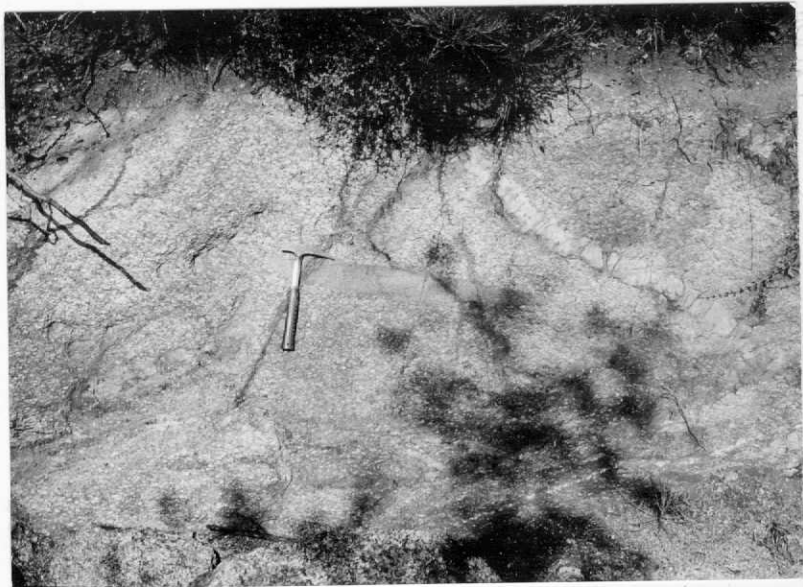
09-11-AD-IP-1264.- Ortoneis de Covelo (p-1 γ_b^1) con micropliegues chevrón de fase 2, que deforman la foliación creada en la fase 1 y filón de aplita reorientado según la S_1 en la primera fase y deformado también por la fase 2.



09-11-AD-IP-1265.- Ortoneis de Covelo (p-1 γ^1_b). Pliegues de fase 2 que deforman un filón de pegmatita.



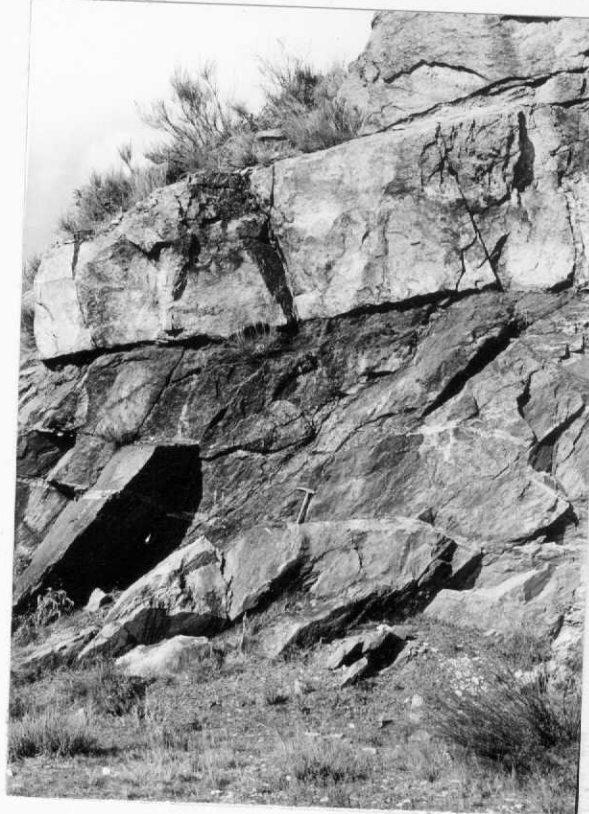
09-11-AD-IP-1266.- Enclave microgranudo en el ortoneis de Cove-
lo (p-1 γ^1 _b).



09-11-AD-IP-1267.- Enclave microgranudo en el ortoneis de Co-
velo (p-1)¹_b.



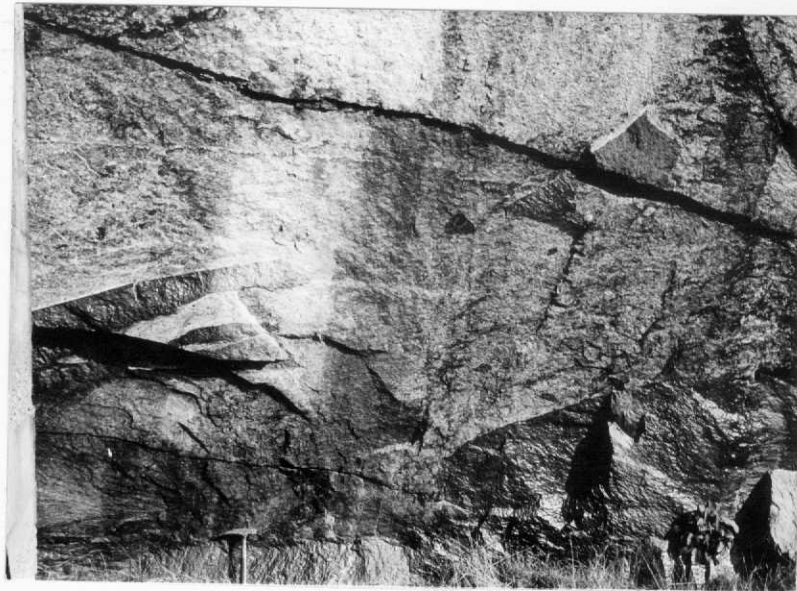
09-11-AD-IP-1268.- Pliegues chevrón en el ortoneis de Covelo
(p-1 1/2) que deforman la foliación creada por la primera fase.



09-11-AD-IP-1269. - Contacto neto entre el "Ollo de sapo" de -
grano fino (PC) (zona gris oscura de la foto) y la granodiori-
ta de la Vega (^b_{p-1} $\gamma \gamma^3$) (zona clara) en el estribo derecho de
la presa de Prada.



09-11-AD-IP-1270. - Contacto entre granodiorita ($\frac{b}{p-1} \gamma \eta^3$) de la Vega y el "Ollón de sapo" de grano grueso (PC ξ) en la pista - de Jares a Seoane.



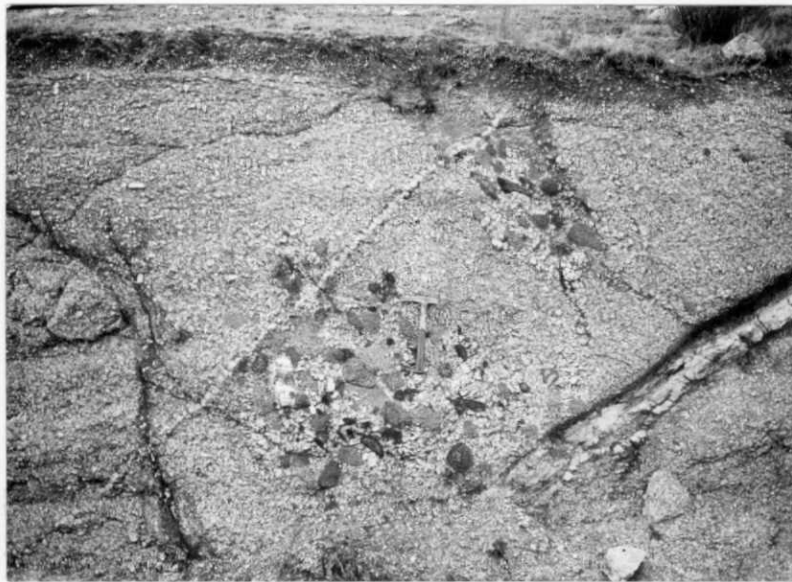
09-11-AD-IP-1271. - Contacto entre granodiorita de La Vega y el "Ollón de sapo" de grano fino (PC) en el estribo derecho de la presa de Prada. Obsérvese la forma paralelepípeda con contactos muy netos de los enclaves de "Ollón de sapo".



09-11-AD-IP-1272.- Enclave microgranudo en la granodiorita de La Vega. El plano de flujo viene señalado por la orientación del enclave y los cristales de feldespato potásico y está prácticamente horizontal.



09-11-AD-IP-1273. - Lineación de flujo señalada por la orientación de los feldespatos potásicos más o menos paralela al mango del martillo. En la granodiorita de La Vega ($\frac{b}{p-1} \gamma \eta^3$).



09-11-AD-IP-1274.- Acumulación de enclaves microgranudos de composición cuarzo-diorítica, y cristales de feldespato potásico entre ellos. Granodiorita de La Vega (^b_{p-1} Yn³).



09-11-AD-IP-1275.- Vista de la falla de Chandoiro paralelamente al accidente y mirando hacia el S. El plano de falla, coincide con la ladera que se observa en la foto.



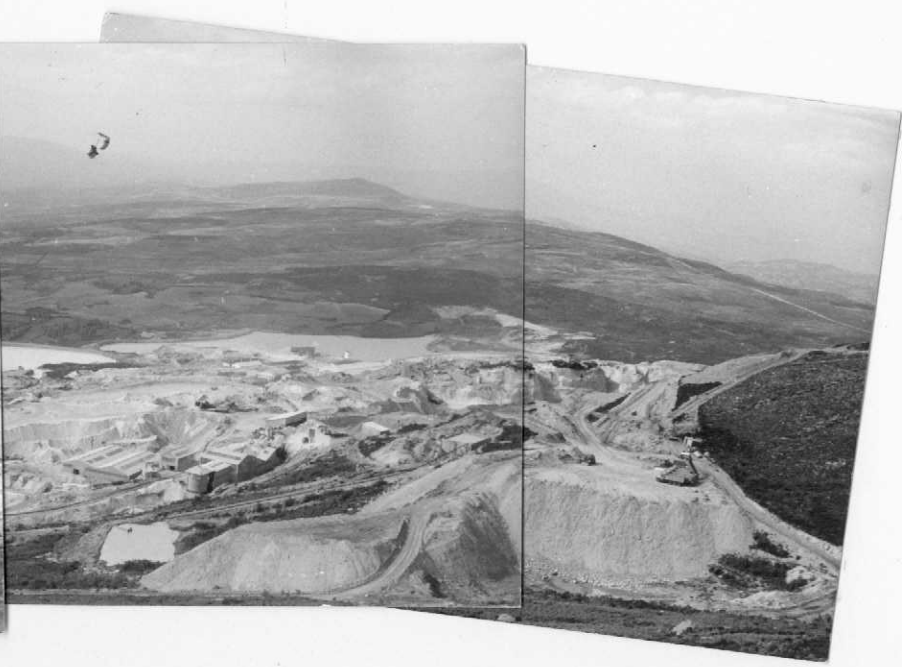
09-11-AD-IP-1276.- Valle de Porto mirando hacia su cabecera en dirección Norte. Obsérvese la morfología glaciar típica y el - pequeño arroyo que discurre en su fondo.



09-11-AD-IP-1277. - Depósitos morrénicos (Q_{GL}) en el fondo del valle de la fotografía anterior.



09-11-AD-IP-1278.- Morrena lateral (Q_{GL}) al SE de Jares.



09-11-AD-IP-1279.- Vista general de las minas de casiterita de Penouta.